

УДК 621.388.3

Ю. В. Мартышевский

(Томск)

**АНАЛИЗ ТОЧНОСТИ ОПРЕДЕЛЕНИЯ КООРДИНАТ  
СВЕТОВОГО ОБЪЕКТА  
ТЕЛЕВИЗИОННОЙ СЛЕДЯЩЕЙ СИСТЕМОЙ НА ДИССЕКТОРЕ**

На основе марковской теории оптимальной нелинейной фильтрации проведен анализ точности определения координат светового объекта диссекторной следящей системой с учетом нестационарного шума, генерируемого диссектором. Получены характеристики точности определения координат объектов, оценена эффективность полученных алгоритмов.

Телевизионные следящие системы (ТСС) на диссекторе находят широкое применение при определении координат и слежении за точечными световыми объектами (ТСО) в устройствах оптической связи и лазерной локации [1].

Вопросу анализа точности ТСС посвящен ряд работ. Однако, как правило, в них принимается допущение о стационарности шума, генерируемого диссектором, что может быть справедливо лишь при малоконтрастных объектах, либо проводится анализ точности определения координат при заданной линейной структуре фильтра, что снижает значимость полученных результатов [2].

Развитие современной элементной базы микропроцессоров и микроЭВМ ставит новые задачи анализа качественных характеристик и синтеза алгоритмов определения координат ТСС, работающей в условиях целого комплекса случайных входных воздействий.

В настоящей работе на основе марковской теории нелинейной фильтрации проведена оценка точности определения координат ТСО и получен оптимальный алгоритм обработки информации в ТСС. В качестве источника ошибок рассматриваются флуктуации тока сигнала на выходе диссектора, обусловленные собственными шумами трубки.

Модель наблюдаемого сигнала и полезного сообщения. Для применения марковской теории оптимальной нелинейной фильтрации необходимо задать модель наблюдаемого сигнала, поступающего с диссектора видеосигнала, и полезного сообщения, описывающего траекторию перемещения изображения ТСО по фотокатоду диссектора.

Особенность телевизионного датчика на диссекторе состоит в том, что интенсивность флуктуационного тока на выходе зависит от среднего уровня освещенности.

В режиме слежения при сканировании изображения объекта относительно апертуры по траектории следящего микрораstra суммарный ток диссектора может быть представлен аддитивной суммой:

$$Y(t) = S(t) + n(t) = AS(\lambda(t), t) + n_s(t) + n(t), \quad (1)$$

$n(t)$  — белый гауссов шум, обусловленный наличием фона (шума фона);  
 $n_s(t)$  — белый гауссов шум, обусловленный наличием полезного сигнала

(сигнальный шум);  $\lambda(t)$  — полезное сообщение (изменение координаты ТСО);  $S(\cdot)$  — нормированная функция, определяющая форму среднего тока полезного сигнала;  $A$  — значение среднего тока полезного сигнала в максимуме сигнальной функции.

Гауссовы шумы  $n(t)$  и  $n_s(t)$  предполагаются статистически независимыми, поскольку порождены несвязанными световыми потоками фона и сигнала. Таким образом, флуктуационный сигнал на выходе диссектора содержит нестационарный белый гауссов шум.

Корреляционная функция флуктуационного тока согласно [3] имеет вид

$$R(t, \tau) = N(t)\delta(t - \tau) = N_0 \left( 1 + \frac{P}{1-P} S(\lambda(t), t) \right) \delta(t - \tau), \quad (2)$$

где  $\delta(t - \tau)$  — дельта-функция Дирака;  $P$  — электрический контраст.

Наличие в наблюдаемом сигнале (1) нестационарного шума с зависящей от сообщения спектральной плотностью мощности существенно усложняет анализ точности измерения координат ТСО.

При анализе точности измерения координат ТСО будем считать, что измерения координаты по осям  $X$  и  $Y$  не коррелированы, а адекватной моделью сообщения является стационарный марковский гауссов процесс первого порядка с корреляционной функцией

$$R_\lambda(\tau) = \sigma_\lambda^2 e^{-\alpha_0 |\tau|}, \quad (3)$$

где  $\alpha_0$  — величина, обратная интервалу корреляции сообщения;  $\sigma_\lambda^2$  — дисперсия процесса  $\lambda(t)$ .

Исходя из (1)–(3) запишем уравнения состояния и наблюдения, учитывая при этом, что  $X_1(t) \equiv \lambda(t)$ :

$$\dot{X}_1(t) = -\alpha_0 X_1(t) + \sigma_1 \sqrt{2\alpha_0} n_1(t), \quad (4)$$

$$Y(t) = AS(X_1(t), t) + \sqrt{N_0(1 + (P/(1-P))S(X_1(t), t))} n_0(t), \quad (5)$$

где  $n_1(t)$  и  $n_0(t)$  — статистически независимые белые гауссовы шумы с единичной спектральной плотностью;  $\sigma_1^2$  — дисперсия сообщения  $X_1(t)$ .

Предлагаются два варианта решения этой задачи.

Так как составляющая шума наблюдения  $n_s(t)$  несет информацию о сообщении, перепишем (1) в виде

$$Y(t) = AS(X_1(t), t) + \sqrt{AS(X_1(t), t)} n_{\alpha}(t) + \sqrt{N_0} n_0(t), \quad (6)$$

где  $n_0(t)$  — белый стационарный шум фона с единичной спектральной плотностью;  $n_{\alpha}(t)$  — гауссов сигнальный шум с единичной спектральной плотностью.

Представляется целесообразным учесть шумовую составляющую сигнала вводом дополнительного процесса  $X_2(t)$  со свойствами, близкими к белому шуму.

В этом случае (6) имеет вид

$$Y(t) = AS(X_1(t), t) + \sqrt{AS(X_1(t), t)} X_2(t) + \sqrt{N_0} n_0(t), \quad (7)$$

где  $X_2(t)$  — гауссов марковский процесс с единичной интенсивностью:

$$\dot{X}_2(t) = -\beta_0 X_2(t) + \beta_0 n_2(t), \quad (8)$$

$n_2(t)$  — белый нормальный шум. Параметр  $\beta_0$ , определяющий корреляционные свойства процесса, удовлетворяет условию

$$\alpha_0^{-1} \gg T_n \gg \beta_0^{-1}, \quad (8a)$$

где  $T_n$  — длительность видеосигнала на уровне 0,606 А.

Таким образом, задача сводится к оценке вектора сообщения:  $\dot{X}(t) = [X_1(t); X_2(t)]^T$ , удовлетворяющего уравнениям (4), (8) и нелинейно связанного с наблюдаемым сигналом (7).

Для уравнений (4), (7), (8) при гауссовой аппроксимации апостериорной плотности вероятностей вектора оптимальная в среднеквадратичном смысле оценка вектора определяется в дискретном времени уравнением прогноза и коррекции [4]:

$$\hat{X}(k+1/k) = \Phi X(k/k);$$

$$\hat{X}(k+1) = \hat{X}(k+1/k) + K(-k+1)\{Y(k+1) - S_0(\hat{X}(k+1/k), k+1)\},$$

где

$$S_0(\cdot) = AS(\hat{X}_1(k+1/k), k+1) + \sqrt{AS(X_1(k+1/k), k+1)}\hat{X}_2(k+1/k)$$

— нелинейная функция наблюдений;

$$\Phi = \begin{vmatrix} 1 - \alpha_0 \Delta t & 0 \\ 0 & 1 - \beta_0 \Delta t \end{vmatrix}$$

— матрица перехода дискретной системы;  $\Delta t$  — интервал дискретизации по времени.

Коэффициент усиления динамического фильтра

$$K(k+1) = D(k+1)\dot{S}_0(k+1/k)N_0^{-1}\Delta t,$$

где  $\dot{S}_0(\cdot) = \frac{\partial S_0(\cdot)}{\partial X(k+1/k)}$  — вектор-строка — градиент скалярной функции.

Матрица ковариаций оценивания

$$D(k+1) = D\left(\frac{k+1}{k}\right) - D\left(\frac{k+1}{k}\right)\dot{S}_0^T \left\{ \dot{S}_0 D\left(\frac{k+1}{k}\right) \dot{S}_0^T \frac{-N_0}{\Delta t} \right\} \dot{S}_0(\cdot) D\left(\frac{k+1}{k}\right).$$

Априорная матрица ковариаций ошибки

$$D\left(\frac{k+1}{k}\right) = \Phi D(k)\Phi^T + G,$$

где матрица  $G = \begin{vmatrix} \sigma_1^2 2\alpha_0 \Delta t & 0 \\ 0 & 2\beta_0 \Delta t \end{vmatrix}$ .

Для реализации алгоритмов формирования оценки, согласно уравнениям, необходимо задать начальные значения вектора и матрицы ковариации.

Другой путь решения задачи предусматривает объединение независимых шумов и запись наблюдаемого сигнала в виде (6) с последующей заменой в (2) сообщения  $X_1(t)$  на его оценочные значения  $\hat{X}_1(t)$ .

Наблюдения примут вид

$$Y(t) = AS(X_1(t), t) + \sqrt{N_0(1 + (P/(1-P))S(\hat{X}_1(t), t))}n_0(t). \quad (9)$$

В этом случае сообщение является скалярной функцией и алгоритмы фильтрации существенно упрощаются.

Результаты моделирования. Численные результаты анализа точности получены методом прямого вероятностного моделирования алгоритмов обра-

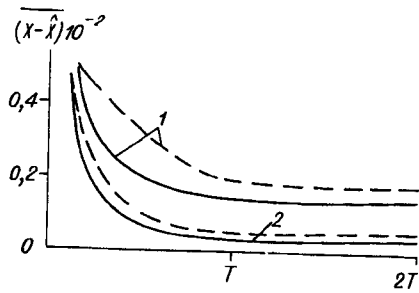


Рис. 1. Изменение дисперсии  $\sigma_x^2$  ошибки определения координат объекта во времени: 1 — для первого варианта, 2 — для второго варианта нестационарного шума

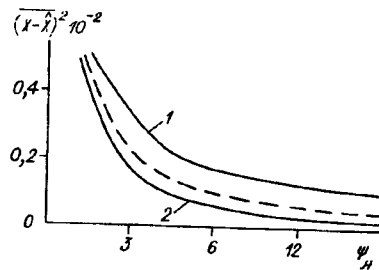


Рис. 2. Зависимость  $\sigma_x^2$  от отношения сигнал/шум  $\psi_A$

ботки на компьютере. Форма видеосигнала, образующегося при сканировании изображения точечного светового объекта, аппроксимировалась гауссоидой длительностью  $T_n = T/2$ , где  $T$  — длительность интервала сканирования. Величины  $\sigma_x$ ,  $\Delta t$ ,  $\alpha_0$ ,  $\beta_0$ , имеющие размерность времени, нормировались к длительности интервала сканирования  $T$ , которая принималась равной единице.

Путем эмпирических повторных расчетов нормированная величина интервала дискретизации выбрана равной 0,05. При этом ошибки за счет дискретизации не превышали 3 %.

Начальные значения оценок принимались равными средним значениям процессов  $X_1(t)$  и  $X_2(t)$ . Начальные значения элементов ковариационной матрицы составляли  $D_{11}(0) = 0,2$ ,  $D_{22}(0) = 1$ ,  $D_{12}$  и  $D_{21} = 0$ , что соответствовало ранее принятым свойствам процессов и априорному предположению о наличии изображения ТСО в пределах микрораstra.

Расчеты проведены для типовых нормированных параметров сообщения:  $\sigma_1/T = 0,1$ ,  $\alpha = \alpha_0 T = 0,15$ .

Кривые 1 и 2 на рис. 1—3 относятся соответственно к фильтрам, выполненным по первому и второму вариантам.

Усреднение по случайным начальным условиям  $\hat{X}_1(0)$  и  $\hat{X}_2(0)$  проводилось при их нормальном распределении (штриховая линия на рис. 1 и 2). Условие (8а) было выполнено при значении  $\beta_0 T = 15$ .

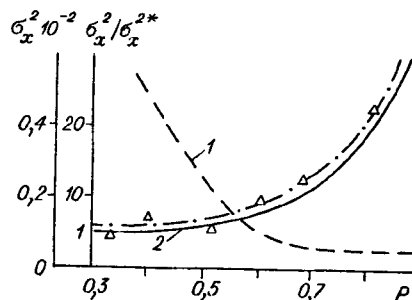
При расчетах отношение сигнал/шум принималось равным отношению амплитуды видеосигнала к интенсивности фонового шума  $\psi_A = A/\sigma_{ш}$ .

На рис. 1 показано изменение во времени дисперсии ошибки измерения координат ТСО

$$\sigma_x^2 = \overline{(X_1 - \hat{X}_1)^2}.$$

На рис. 2 приведена зависимость  $\sigma_x^2$  от отношения сигнал/шум  $\psi_A$ . На рис. 3 показана зависимость  $\sigma_x^2$  отношения  $\sigma_x^2/\sigma_x^{2*}$  от контраста ТСО  $P$ . Здесь же приведены результаты эксперимента. Из графика рис. 3 видно, что  $\sigma_x^2$  увеличивается при возрастании  $P$  по сравнению с дисперсией оценки  $\sigma_x^{2*}$ , полученной для случая, если бы в наблюдении (1) присутствовал только стационарный шум, обусловленный фоном. Наличие нестационарного шума приводит к увеличению дисперсии ошибки измерения координат ТСО.

Рис. 3. Зависимости  $\sigma_x^2$  и отношения  $\sigma_x^2/\sigma_x^{2*}$  от контраста объекта (штриховая линия) и контраста (сплошная линия) соответственно;  $\Delta$  — результаты эксперимента



ционарной составляющей шума приводит к тому, что при  $P = 0,9$  дисперсия оценки более чем в 20 раз превышает потенциально достижимую оценку.

#### ВЫВОДЫ

Результаты, представленные на рис. 1—3, показывают достаточно быструю сходимость предложенных алгоритмов. Ошибка определения координат ТСО при  $\psi_A = 20$  составляла 2 % от размеров микрораstra.

Несмотря на то что полученные алгоритмы дают примерно одинаковую оценку потенциальной точности, алгоритм по первому варианту оказывается двумерным и требует большего объема вычислений.

Приведенные на рис. 3 результаты исследования эффективности алгоритмов показывают, что при контрастах ТСО  $P < 0,5$  учет нестационарной составляющей шума диссектора не оказывает существенного влияния на точность определения координат объекта. Однако при контрасте  $P > 0,5$  нестационарная составляющая сигнала уже существенно определяет точность полученных оценок.

Практическая проверка показала работоспособность алгоритмов и правильность принятых моделей и допущений.

Полученные результаты могут быть использованы при обосновании требований к техническим характеристикам разрабатываемых ТСС на диссекторе.

#### СПИСОК ЛИТЕРАТУРЫ

1. А. с. 811302 СССР. Устройство для определения координат точечных световых объектов / Ю. В. Мартышевский. Оpubл. 07.03.81, Бюл. № 9.
2. Ободан В. Я., Путилов Ю. М. Оптимальное определение временного положения видеосигнала диссектора с учетом нестационарности его шума // Автометрия. 1983. № 1.
3. Верешкин А. Е. К определению корреляционной функции нестационарных шумов в диссекторной и суперортиконной камерах // Радиотехника и электроника. 1969. № 12.
4. Сейдж Э., Мелс Дж. Теория оценивания и ее применения в связи и управлении. М.: Связь, 1976.

*Поступила в редакцию 27 апреля 1994 г.*